

Immunohistochemical Study of Distribution of GAD and GABA in the Entorhinal Cortex after Spreading Depression in Juvenile Rats

Ahmad Ali Lotfinia¹, Leila Alizadeh¹, Mahmoud Lotfinia², Azadeh Sajadian¹, Amir Ghaemi^{3,*}

¹Shefa Neuroscience Research Center, Khatam Alanbia Hospital, Tehran, Iran

²School of Medicine, Shahid Beheshti University of Medical Sciences, Tehran, Iran

³Department of Microbiology, Golestan University of Medical Sciences, Gorgan, Iran

Article Info:

Received: 2 Feb 2015

Accepted: 5 May 2015

ABSTRACT

Introduction: Spreading depression (SD), discovered by Leao in 1944, is a pathophysiological depolarization wave that propagates slowly in the brain (3 mm/min) and causes dramatic ionic and hemodynamic changes. SD appears to act through several mechanisms and receptors, which have not completely understood. Here, we studied the effect of inhibitory system in animal model of SD using immunohistochemistry technique. **Materials and Methods:** After implanting recording electrodes and cannula over the brain, repetitive SD was induced by KCl injection (2 M) in juvenile rats for four consecutive weeks. Then all rats' brains removed. The mean number of dark neurons in the entorhinal cortex (EC) were determined using toluidine blue staining. To identify the prevalence and distribution of GABA_A subunit receptors as well as glutamic acid decarboxylase (GAD), the GABA biosynthetic enzyme, immunohistochemistry technique was performed. **Results:** The mean number of SD induced was statistically increased during four weeks of experiments. The mean number of dark neurons in EC was significantly increased in SD group compared to sham group. Furthermore, expression of GAD65 in EC significantly increased in SD group compared to sham group. However, both GABA-A_α and GABA-A_β subunit receptors didn't significantly change in that region after SD. **Conclusion:** These data suggest that SD is able to damage the neuronal cells in neural tissues in juvenile rats and parallelly lead to enhancement of GAD65 in the central nervous system.

Key words:

1. Cortical Spreading Depression
2. Entorhinal Cortex
3. gamma-Aminobutyric Acid

* Corresponding Author: Amir Ghaemi

E-mail: ghaem_amir@yahoo.com

مطالعه ایمونوہیستوشیمی پراکنش GAD و GABA در قشر انتورینال پس از مهار منتشر شونده در موش‌های صحرایی نوجوان

احمد علی لطفی نیا^۱، لیلا علیزاده^۱، محمود لطفی نیا^۱، آزاده سجادیان^۱، امیر قائمی^{*۲۰۱}

^۱ مرکز تحقیقات علوم اعصاب شفا، بیمارستان خاتم الانبیاء، تهران، ایران

^۲ دانشکده پزشکی، دانشگاه علوم پزشکی شهید بهشتی، تهران، ایران

^۳ گروه میکروب شناسی، دانشگاه علوم پزشکی گلستان، گرگان، ایران

اطلاعات مقاله:

تاریخ دریافت: ۱۳۹۳ بهمن ۱۳

تاریخ پذیرش: ۱۵ اردیبهشت ۱۳۹۴

چکیده

مقدمه: مهار منتشر شونده، که در سال ۱۹۴۴ توسط لئو کشف شد، یک موج دپلاریزاسیون پاتوفیزیولوژیکی است که به آرامی در مغز پخش می‌شود (۳ میلی‌متر در دقیقه) و تغییرات یونی و همودینامیک چشمگیری را سبب می‌شود. به نظر می‌رسد مهار منتشر شونده از طریق فعالیت چندین مکانیسم و گیرنده ظاهر می‌شود که به طور کامل شناخته نشده‌اند. اینجا ما اثر سیستم مهاری را در مدل حیوانی مهار منتشر شونده با استفاده از تکنیک ایمونوہیستوشیمی مطالعه کردیم. **مواد و روش‌ها:** پس از کارگذاری الکترودهای ثبت کننده و کانولا بر روی مغز، مهار منتشر شونده مکرر از طریق تزریق کلرید پتاسیم (۲ مولار) در موش‌های صحرایی نوجوان به مدت چهار هفته متوالی القاء شد. سپس تمامی مغزهای موش‌های صحرایی خارج گردیدند. با استفاده از رنگ‌آمیزی تولوئیدن بلو، میانگین تعداد نورون‌های تیره در قشر انتورینال مشخص گردید. به منظور مشخص کردن شیوع و توزیع زیر واحدهای گیرنده GABA و گلوتامیک اسید دکربوکسیلاز (GAD)، آنزیم بیوسنتر GABA، تکنیک ایمونوہیستوشیمی انجام شد. **یافته‌ها:** میانگین تعداد مهار منتشر شونده القاء شده در طی ۴ هفته آزمایش از نظر آماری افزایش یافت. میانگین تعداد نورون‌های تیره قشر انتورینال به طور معنی‌داری در گروه مهار منتشر شونده در مقایسه با گروه شم افزایش داشت. به علاوه بیان 65 GAD در قشر انتورینال به طور معنی‌داری در گروه مهار منتشر شونده در مقایسه با گروه شم افزایش پیدا کرد. اگرچه هر دو زیر واحدهای گیرنده α -GABA-A_A و β -GABA-A_B به طور معنی‌داری در آن ناحیه پس از مهار منتشر شونده تغییر نکردند. **نتیجه گیری:** این یافته‌ها پیشنهاد می‌کنند که مهار منتشر شونده می‌تواند به سلول‌های عصبی در بافت‌های عصبی در موش‌های صحرایی نوجوان آسیب برساند و به طور موازی منجر به افزایش 65 GAD در سیستم عصبی مرکزی شود.

کلید واژه‌ها:

۱. مهار منتشر شونده قشری
۲. قشر انتورینال
۳. گاما-آمینو بوتیریک اسید

* نویسنده مسئول: امیر قائمی

آدرس الکترونیکی: ghaem_amir@yahoo.com

مقدمه

تحریک‌پذیری نورون‌ها و دیپلاریزاسیون مکرر آن‌ها گردد^(۱۳)،^(۵). به همین ترتیب ما نیز فرض کردیم SD می‌تواند با کاهش ناقلين عصبی یا گیرنده‌های مهاری و یا بهطور کلی کاهش عملکرد مهاری سیستم گاباائزیک سبب تحریک‌پذیری بیشتر نورون‌ها و در نتیجه انتشار آسان تر موج در مغز گردد^(۱۴). از این رو هدف از انجام این بررسی، سنجش میزان پراکندگی زیر واحدهای گیرنده‌های GABA^(۱۵) و نیز آنزیم گلوتamat د-کربوکسیلاز (GAD)^(۱۶)، یکی از مهمترین واسطه‌ها در تولید ناقل عصبی GABA، پس از القای SD می‌باشد.

مواد و روش‌ها

به منظور انجام این مطالعه، ۲۰ سر موش صحرایی ویستار نابالغ ۲۰ تا ۳۰ روزه در محدوده وزنی ۸۰-۱۰۰ گرم (تهیه شده از مرکز تحقیقات علوم اعصاب شفا) انتخاب شد. در طول زمان این مطالعه موش‌ها به صورت انفرادی در دمای ۲۲±۲ درجه سانتی‌گراد و رطوبت ۵۰-۵۵ درصد و در سیکل روش‌نایابی: تاریکی ۱۲:۱۲ با دسترسی آزاد به آب و غذا نگهداری شدند. تمامی مراحل آزمایش بر اساس پروتکل تأیید شده توسط کمیته اخلاق مرکز تحقیقات علوم اعصاب شفا اجرا شد. حیوانات به طور تصادفی به ۲ گروه شم و SD تقسیم شدند.

جراحی و القای SD

در ابتدا موش‌ها با استفاده از یک ترازوی حساس وزن شده و سپس با تزریق پنتوباربیتال^(۱۷) (Sigma; ۶۰ mg/kg) به صورت درون صافای بیهوش شدند. پس از بیهوشی سر حیوان‌ها در دستگاه استریوتاکس (تجهیزات استولتینگ، آمریکا)^(۱۸) ثابت گردید و موی سر آن‌ها تراشیده شد. سپس ناحیه تراشیده شده ضد عفونی گردیده و با تیغ بیستوری یک برش طولی روی پوست سر ایجاد شد. به دنبال آن بافت‌های زیر جلدی کنار زده شد تا استخوان جمجمه در معرض دید قرار گیرد. سپس با استفاده از مته مخصوص، ۴ سوراخ تا سطح سخت شامه بدون ایجاد زخم بر روی آن ایجاد شد. به ترتیب، ۲ سوراخ مقابل هم در استخوان آهیانه، ۱ سوراخ در استخوان پیشانی و ۱ سوراخ بر روی استخوان بینی به عنوان مرجع ایجاد شد. در داخل سوراخ استخوان پیشانی کانولی که از سرسوزن‌های استیل درجه ۲۶ به طول یک سانتی‌متر به طور دستی درست شده بود، به منظور انجام تزریق‌های داخل مغزی کلرید پتاسیم و سرم رینگ قرار داده شد.

برای حفاظت کانولا از آلودگی و بسته نشدن، با استفاده از سوزن ویژه دندانپزشکی، سرپوشی برای کانول‌های کاشته شده، ساخته شد. سپس دو الکترود نقره در داخل سوراخ‌های استخوان آهیانه و یکی در سوراخ استخوان بینی به منظور ثبت امواج مغزی قرار داده شد (تصویر ۱). در نهایت ناحیه جراحی توسط سیمان جراحی پر گردید^(۱۹).

مهار منتشر شونده (SD)^(۱) که یک ویژگی بیوالکتریکی ذاتی در سیستم اعصاب مرکزی است، یک پدیده پاتوفیزیولوژیک شناخته شده می‌باشد که با تغییرات متابولیک و همودینامیک در سیستم اعصاب مرکزی و بیش از حد فعل شدن نورون‌ها^(۲) همراه است (۱-۳). این پدیده که اولین بار در سال ۱۹۴۴ توسط آقای لئو، فیزیولوژیست برزیلی توصیف شد، به صورت یک موج الکتریکی گذرای برگشت‌پذیر در ماده خاکستری با سرعت حدود ۳-۵ میلی‌متر در دقیقه پخش شده و با دیپلاریزاسیون نورونی - گلیالی به آهستگی در دیگر نقاط بافت مغز نیز گسترش می‌یابد. به دنبال پخش این موج در مغز، خاموشی موقتی در فعالیت الکتریکی نورون‌ها در ناحیه قشری مغز اتفاق می‌افتد که نمود آن را می‌توان به‌وضوح با تعییر در دامنه^(۳) و طول مدت^(۴) موج مذکور در نوار الکتروآنسفالوگرافی^(۵) مشاهده کرد (۳-۵).

شواهد کلینیکی و آزمایشگاهی بسیاری مؤید این مطلب هستند که موج SD در ارتباط نزدیک با بسیاری از اختلالات مختلف عصبی از جمله میگرن همراه با ارواء، خونریزی‌های زیر عنکبوتیه آنوریسمال^(۶)، بیماری‌های مغزی - عروقی، خونریزی داخل مغزی خود به خودی^(۷)، فراموشی گذرا، صرع و همچنین آسیب‌های وارد به سر می‌باشد (۶).

SD از دو جهت حائز اهمیت است، ابتدا همان‌طور که گفته شد آسیب وارد به سلول‌های عصبی توسط بسیاری از بیماری‌های تخریب‌کننده سیستم عصبی به سبب پخش این موج در مغز اتفاق می‌افتد و دوم آنکه شناخت این پدیده از جهت به دست آوردن تصویری شفاف از فعالیت الکتروفیزیولوژی مغز نیز بروز این اهمیت فراوان است (۷). هنوز به درستی عامل اصلی بروز این موج مشخص نیست، اما یافته‌های اخیر بر چند عاملی بودن این پدیده دلالت می‌کنند و عوامل متعددی را در ایجاد، پخش و گستره شدن این موج در مغز دخیل می‌دانند (۸).

نورون‌ها مانند یک باتری در مغز عمل می‌کنند. آن‌ها انرژی الکتروشیمیایی را به‌وسیله شبی غلظتی یون‌ها و همچنین شارژ الکتریکی در طول غشاء ذخیره می‌کنند. سپس با اجازه دادن به ورود و خروج یون‌هایی نظری سدیم، پتاسیم و کلر از راه کانال‌های موجود بر روی سطح غشاء، در فضایی به نام سیناپس، پتانسیل عمل را ایجاد کرده و از این طریق پیام‌های عصبی را منتقل می‌کنند (۶).

نتیجه بر هم خوردن توازن یونی و جابه‌جا شدن یون‌ها به‌ویژه تجمع بیش از حد یون پتاسیم در فضای خارج سلولی به هر دلیل، دیپلاریزاسیون^(۹) مجدد سلول است (۹-۱۲) که سلول عصبی را از حالت طبیعی خارج می‌کند. از سوی دیگر بهم خوردن تعادل بین ناقلين عصبی^(۱۰) تحریکی و مهاری نیز می‌تواند از طریق بالا رفتن میزان گلوتamat در فضای سیناپسی سبب افزایش

¹ Spreading depression

² Electrophysiological hyperactivity

³ Amplitude

⁴ Duration

⁵ Electroencephalography

⁶ Migraine with aura

⁷ Aneurismal subarachnoid hemorrhage

⁸ Spontaneous intracerebral hemorrhage

⁹ Depolarization

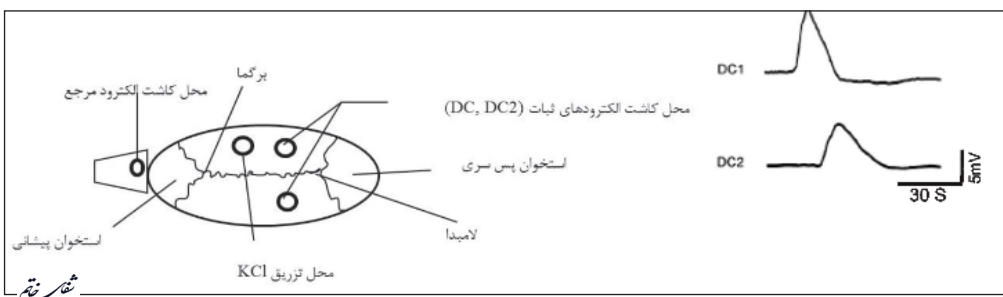
¹⁰ Neurotransmitters

¹¹ gamma-Aminobutyric acid

¹² Glutamic acid decarboxylase

¹³ Pentobarbital

¹⁴ Stereotaxic (Stoelting Instruments, USA)



تصویر ۱- ثبت جریان مستقیم منفی (DC) پس از تزریق کلرید پتاسیم در مغز موش‌های نوجوان. تزریق از راه کانولای شماره ۲۳ و ثبت امواج منفی به کمک الکترودهایی که بر بالای کورونکس نصب و توسط سیمان دندانپزشکی محکم شده بودند صورت گرفت. مهار منتشر شونده قشری از قشر حسی- پیکری مغز موش‌های نوجوان ثبت گردید.^{۱۶}

۱۰ دقیقه در دمای اتاق قرار داده شدند. برش‌ها دوباره توسط PBS شستشو داده شدند و لامها در $1\text{ }\mu\text{g}/\text{kg}$ درصد و $1\text{ mg}/\text{kg}$ درصد به عنوان بلاکر به مدت ۴۵ دقیقه انکوبه شدند و به مدت یک شب در دمای ۴ درجه سانتی‌گراد با آنتی‌بادی اولیه خرگوشی (RNASEN; Abcam, Cambridge, United Kingdom) بر علیه GAD65 و GABA-A_β و GABA-A_α به صورت جداگانه انکوبه شدند. غلظت آنتی‌بادی‌ها به ترتیب $1:100$ ، $1:50$ و $1:200$ بودند که توسط محلول محتوی $1\text{ mg}/\text{kg}$ BSA در بافر فسفات سالین $1\text{ mg}/\text{kg}$ در pH ۷/۴ رقیق شدند.

لامها پس از ۳ بار شستشو در PBS، در مرحله بعدی با آنتی‌بادی ثانویه فلورسنت مونوکلونال (RNASEN; Abcam, Cambridge, United Kingdom) Goat anti Rabbit (United Kingdom) با رقت $1:700$ به مدت ۲ ساعت در دمای محیط در شرایط تاریکی انکوبه شدند. بعد از چندین شستشو با PBS، رنگ آمیزی هسته با پروپیدیوم یوید ^{۲۰} با رقت $1:1000$ انجام گردید. لامها دوباره با PBS شسته شده و در پایان با $90\text{ }\mu\text{l}$ glycerol mounting buffer و سپس توسط میکروسکوپ فلورسنت BX51WI; Olympus (Tokyo, Japan) مورد بررسی قرار گرفتند.^{۱۷}

سه مقطع عرضی از مغز هر موش برای تجزیه و تحلیل ایمونوفلورسنت در نظر گرفته شد. عکس‌های دیجیتالی از مقاطع با استفاده از دوربین متصل بر روی میکروسکوپ با بزرگنمایی $X40$ گرفته شده و در رایانه ذخیره گردید. در بررسی میکروسکوپی، پارامترهای بیان گیرنده گابا در قشر انتورینال مورد ارزیابی قرار گرفتند. میزان چگالی فلورسنت در سلول‌های واکنش داده با آنتی‌بادی گیرنده‌های GABA-A_β، GABA-A_α و GAD65 در گروه‌های مختلف در ناحیه قشر انتورینال توسط نرم‌افزار J Image اندازه‌گیری شدند. اعداد به دست آمده از این نرم‌افزار توسط آزمون‌های آماری آنالیز شدند.

تجزیه و تحلیل آماری

تمام داده‌ها به صورت میانگین و خطای معیار ($\text{Mean} \pm \text{SEM}$) ارائه شدند. نتایج آزمون KS^{۱۹} جهت بهنجار بودن متغیرها انجام شد. در پایان، نتایج به دست آمده در بررسی ایمونوهیستوشیمی توسط نرم‌افزار IBM SPSS Statistics 19 و آزمون T-Test مورد تجزیه و تحلیل آماری قرار گرفت. معیار معنی‌داری برای هر گروه $P < 0.05$ به مدت 15 دقیقه استفاده شد.

موش‌ها به قفس‌های مجزا منتقل شده و یک هفته دوره ببهبدی بعد از عمل را گذراندند.

برای القای SD، موش‌ها به وسیله پنتوباربیتال ($60\text{ mg}/\text{kg}$) بیهوش شدند و تزریق‌های داخل مغزی (به میزان $10-15\text{ }\mu\text{l}$) میکرولیتر محلول کلرید پتاسیم $2\text{ mg}/\text{kg}$ مولار در طول مدت 60 ثانیه از راه کانولا به وسیله سرنگ همیلتون $10\text{ }\mu\text{l}$ میکرولیتری که توسط یک لوله پلی‌اتیلن به سرنگ تزریق درجه 27 وصل شده بود، انجام شدند. برای اطمینان از القای درست SD، همزمان با تزریق کلرید پتاسیم، امواج الکتریکی مغزی به مدت $30-45$ دقیقه ثبت شدند. القای SD، 4 مرتبه به صورت مکرر و با فواصل زمانی یک هفته، در گروه SD صورت گرفت. همچنین تزریق سرم رینگ در گروه شم از راه کانولا کار گذاشته شده انجام شد.

مطالعات بافت‌شناسی

پس از پایان چهار هفته القای SD، موش‌ها با دوز بالای کلرات هیدرات (Sigma; $350\text{ mg}/\text{kg}$) بیهوش شده و سپس مغز آن‌ها ابتدا توسط 200 ml/liter سالین و سپس 600 ml/liter پارافرمالدئید $1\text{ mg}/\text{ml}$ درصد از راه قلب و سرخرگ آئورت بالارو شسته شده و در پایان به کمک ست جراحی استخوان‌های جمجمه شکسته و مغز بدون آسیب و تروما درآورده شد و در محلول فیکساتیو قرار گرفتند. مغزها حداقل 1 هفته در محلول فیکساتیو پارافرمالدئید قرار گرفتند تا برای تهیه مقاطع میکروسکوپی آماده شوند. پس از طی مراحل ثابت سازی، آبگیری، شفاف‌سازی و قالب‌گیری در پارافین، به صورت مقاطع با ضخامت $8\text{ }\mu\text{m}$ میکرون و به صورت کرونا ^{۱۵} برش زده شده و با رنگ تولوئیدن بلو رنگ آمیزی شدند.

ایمونوهیستوشیمی

سه عدد برش عرضی از مغز هر موش که بر روی لامهای شیشه‌ای مونته شده بودند، به منظور بررسی ناحیه قشری انتورینال ^{۱۶} در نظر گرفته شدند. برش‌ها با عبور از گزیل و الكل دپارافینه و آبدهی شدند. در مرحله بعد به وسیله بافر فسفات سالین (PBS) ^{۱۷} شستشو داده شده و سپس به منظور احیاء آنتی‌زنی از آنزیم تریپسین $0.05\text{ mg}/\text{ml}$ در دمای 37°C سانتی‌گراد به مدت 15 دقیقه استفاده شد. برش‌ها در PBS شستشو داده شده و سپس در Triton X-100 0.2% به مدت

¹⁵ Coronal

¹⁶ Entorhinal cortex

¹⁷ Phosphate-buffered saline (PBS)

¹⁸ Bovine serum albumin

¹⁹ Normal goat serum

²⁰ Propidium iodide (PI)

²¹ Kolmogorov-Smirnov test

یافته‌ها

تغییرات نوار مغزی به دنبال القای مکرر SD

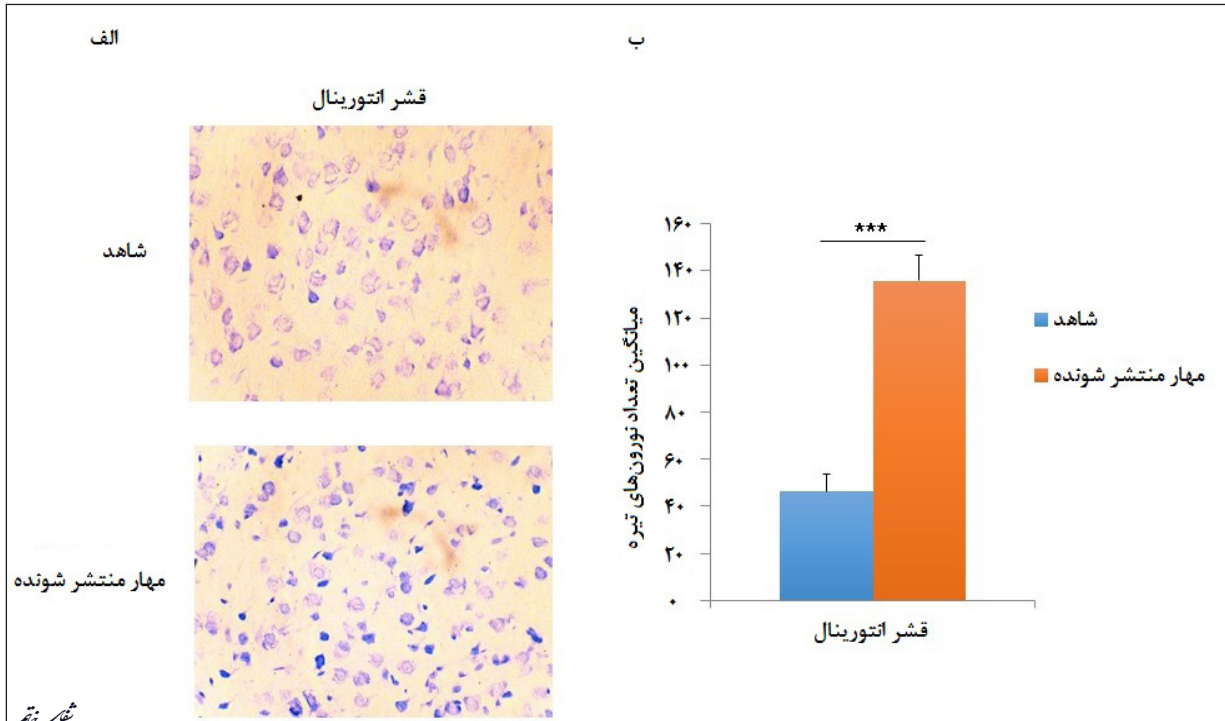
ترزیق کلرید پتاسیم از راه کانولا به درون مغز موش‌های صحرایی نوجوان به مدت چهار هفته منجر به ایجاد نوسانات DC منفی^{۲۲} و به دنبال آن ایجاد امواج مثبت گردید. میانگین تعداد دامنه و طول مدت اولین موج نشوکوتیکال^{۲۳} شبیه SD، 10.8 ± 2.1 میلی ولت و 11.2 ± 9 ثانیه و سرعت پخش^{۲۴} این جایه‌جایی منفی 0.2 ± 0.1 میلی‌متر در دقیقه بود. دامنه، طول مدت و همچنین سرعت پخش امواج SD قشری القاء شده در طول ۳ هفتۀ بعدی در مقایسه با هفتۀ اول تفاوت معنی‌داری را نشان ندادند. با این حال نتایج آماری بیانگر افزایش میانگین تعداد امواج SD ناشی از ترزیق محلول کلرید پتاسیم در طول ۶۰ دقیقه پس از ترزیق محلول کلرید پتاسیم در هفتۀ اول $\pm 0.2 \pm 0.1$ ، در هفتۀ دوم 0.3 ± 0.2 در هفتۀ سوم 0.5 ± 0.2 و در هفتۀ چهارم 0.3 ± 0.2 بود ($P < 0.05$).

تأثیر القای مکرر SD بر ایجاد نورون‌های تیره

میانگین تعداد نورون‌های تیره در ناحیه قشر انتورینال بعد از القاء مکرر SD در مقایسه با گروه شم ($46/3 \pm 7/3$) افزایش یافته است ($10/6 \pm 1/6$; $P < 0.01$)-(تصویر ۲).

یافته‌های ایمونوهیستوشیمی

پس از القای مکرر SD، توزیع گیرنده‌های GABA-A_a و



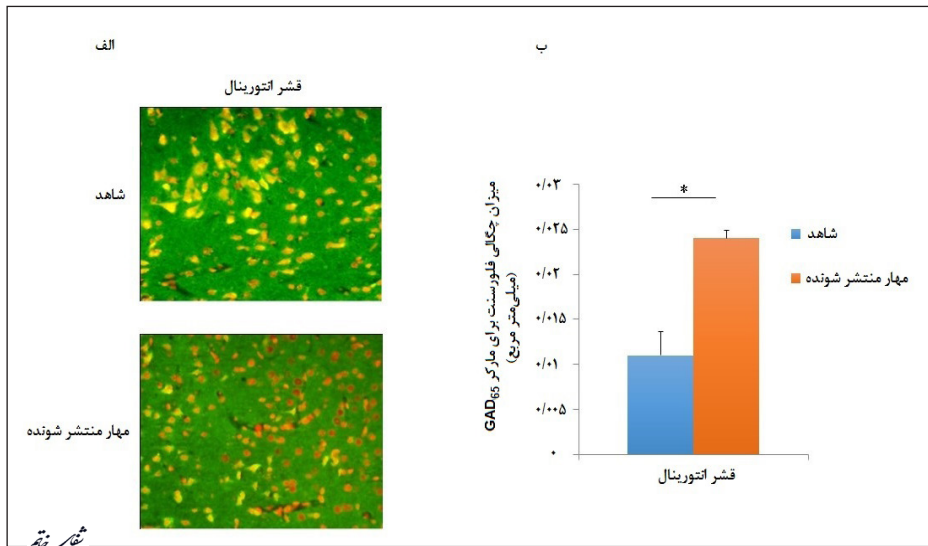
تصویر ۲- اثر القای مکرر SD بر تعداد نورون‌های تیره در قشر انتورینال در دو گروه شم ($n=10$) و SD ($n=10$) پس از چهار هفته القای مکرر آن در موش‌های نوجوان. (الف) نمای میکروسکوپی نوری (با بزرگنمایی $40 \times$) از مقطع عرضی مغز موش در دو گروه شم و SD با زیگ‌امیزی تولوئیدن بللو، (ب) میانگین تعداد نورون‌های تیره در ناحیه انتورینال مغز موش در گروه شم و SD که تعداد نورون‌های تیره در گروه SD در مقایسه با گروه شم به‌طور معنی‌داری افزایش یافته است. *** نشان‌دهنده معنی‌داری است. $P < 0.001$.

²² Direct current fluctuations

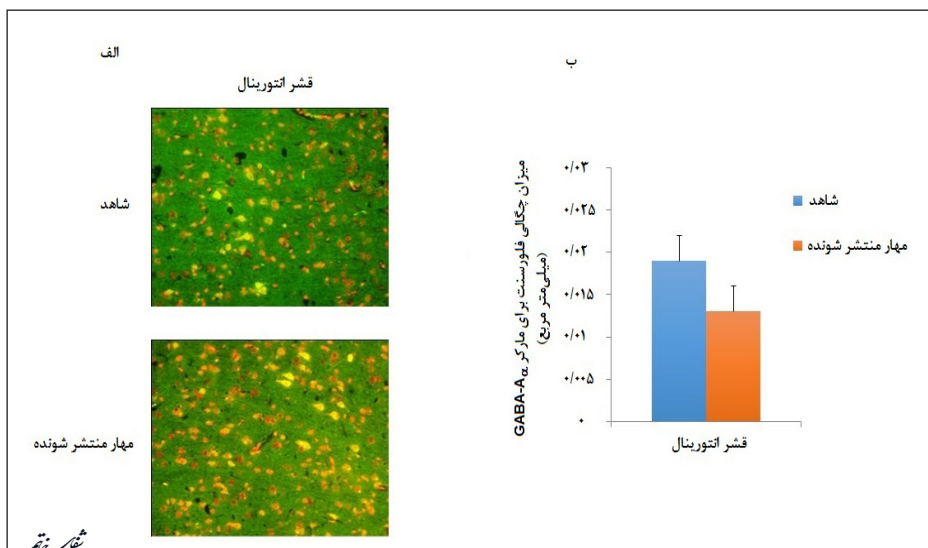
²³ Neocortical wave

²⁴ Velocity

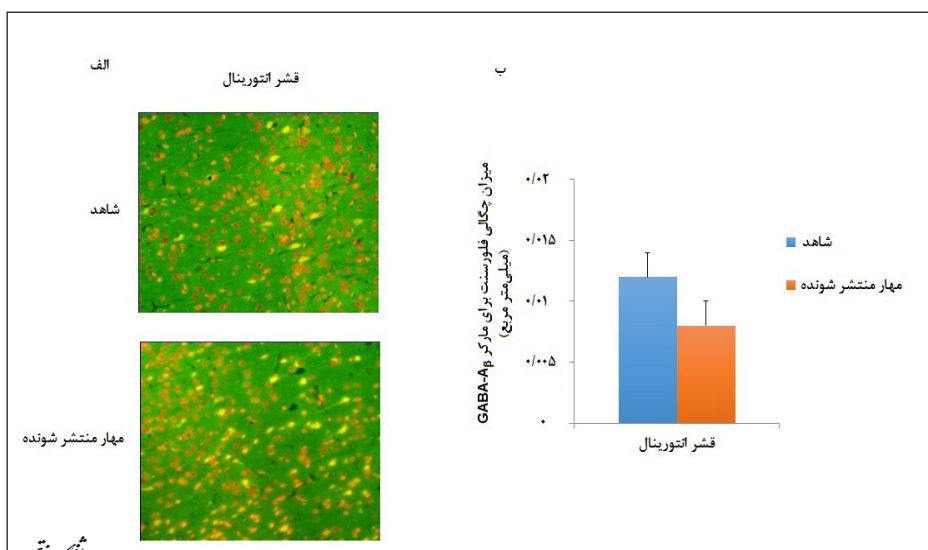
شیرخنجر



تصویر ۳- توزیع گیرنده GAD65. (الف) تصاویر گرفته شده توسط میکروسکوپ فلورسنت از منطقه قشر انمورینال. (ب) توزیع GAD65 به صورت Mean \pm SEM نمایش داده شده است. بیان این آنژیم به دنبال القای SD در منطقه قشر انمورینال نسبت به گروه شم به گروه شم (n=10) افزایش معنی داری را نشان می دهد. * نشان دهنده معنی داری ($P < 0.05$) است.



تصویر ۴- توزیع گیرنده $GABA-A_{\alpha}$. (الف) تصاویر گرفته شده توسط میکروسکوپ فلورسنت از منطقه قشر انمورینال. (ب) توزیع گیرنده $GABA-A_{\alpha}$ به صورت Mean \pm SEM نمایش داده شده است. بیان این گیرنده به دنبال القای SD در منطقه قشر انمورینال نسبت به گروه شم (n=10) تغییر معنی داری را نشان نداد.



تصویر ۵- توزیع گیرنده $GABA-A_{\beta}$. (الف) تصاویر گرفته شده توسط میکروسکوپ فلورسنت از منطقه قشر انمورینال. (ب) توزیع گیرنده $GABA-A_{\beta}$ به صورت Mean \pm SEM نمایش داده شده است. بیان این گیرنده به دنبال القای SD در منطقه قشر انمورینال نسبت به گروه شم (n=10) تغییر معنی داری را نشان نداد.

نتایج ما حاکی از آن است که SD مکرر تنها می‌تواند آسیب نورونی در مغز ایجاد کند و نمی‌تواند مهار سیناپسی را به طور معنی‌داری تغییر دهد.

پژوهش‌های گذشته نشان می‌دهد ۲۰ تا ۱۰ درصد کاهش در عملکرد گابائرژیک برای بروز فعالیت‌های پاتوفیزیولوژیکی در مغز کافی است (۲۴). این در حالی است که در مطالعه حاضر نیز در گروهی که در آن‌ها القای SD صورت گرفت، از میزان بیان گیرنده‌های GABA-A اندازی کاسته شد که البته این کاهش معنی‌دار نبود. تغییر در سطوح ناقل عصبی گابا در مغز موش‌های ایسکمیک پس از القای تحریکاتی که منجر به ظهور امواج SD در نوار مغزی می‌شد، تغییرات محسوسی را نشان داد (۲۵).

همچنین در مطالعه‌ای که در سال ۲۰۱۰ صورت گرفت، تزریق GABA-B و GABA-A منجر به کاهش SD در مosh صحرایی و گربه شد (۲۶)؛ این خود بیانگر نقش محافظتی گیرنده‌های مهاری در مغز در مقابل آسیب‌های وارد است. افزایش بیان پروتئین GAD65 در پاسخ به التهاب ایجاد شده ناشی از موج SD در تحقیق حاضر می‌تواند ناشی از تلاش جبرانی مغز برای تبدیل هر چه بیشتر این پروتئین پیش ساز به گابا و در نتیجه کاهش آسیب وارد به مغز باشد.

اطلاعات به دست آمده از تحقیق حاضر نشان‌دهنده نقش مؤثر پدیده SD و پدیده‌های مشابه^{۲۸} SD در آسیب‌های وارد به مغز است. موج SD نمی‌تواند در مosh‌های صحرایی ویستان جوان منجر به افزایش بیان گیرنده‌های مهاری شود اما از سوی دیگر سبب افزایش بیان پروتئین پیش ساز این گیرنده‌ها در مغز می‌شود.

بحث و نتیجه گیری

این مطالعه در درجه اول نشان داد که القای مکرر SD در مosh‌های نوجوان منجر به آسیب از نظر ساختاری و عملکردی در سلول‌های عصبی خواهد شد. در پژوهشی که در سال ۱۹۸۸ صورت گرفت، تزریق مکرر کلرید پتاسیم در Mosh‌های بالغ نتوانست منجر به آسیب برگشت ناپذیر نورونی پس از ۴ روز شود (۱۸). این در حالی است که نتایج به دست آمده از تحقیق حاضر نشان داد القای چهار هفت‌های SD در Mosh‌های نوجوان به طور معنی‌داری منجر به ایجاد سلول‌های تیره در نواحی قشر انتورینال در گروه در مقایسه با گروه شم می‌شود. همچنین پژوهش‌های متعدد دیگری که در این راستا صورت گرفت نشان داد که این موج اثرات تحریکی برگشت ناپذیری در بخش‌های قشری^{۲۵} و زیر قشری^{۲۶} مغز در شرایط هایپوکسیک^{۲۷} دارد (۱۹-۲۱، ۲۲، ۲۴، ۷، ۱۴، ۱۹-۲۱).

امروزه به خوبی مشخص شده است که مغز پستانداران علاوه بر سیستم تحریکی از یک سیستم مهاری پیشرفته نیز بهره‌مند است که عملکرد ناقلین عصبی تحریکی گلوتاماتی را متعادل می‌کند (۲۲، ۲۳). انتقال دهنده عصبی GABA مهم‌ترین انتقال دهنده عصبی مهاری در مغز مهره‌داران به شمار می‌آید (۲۲).

در بررسی حاضر میزان بیان زیر واحد آلفای گیرنده مهاری GABA-A پس از القای مکرر SD در ناحیه قشر انتورینال GAD65 افزایش معنی‌داری را نشان نداد. در حالی که بیان GAD65 افزایش معنی‌داری را در این ناحیه در مقایسه با گروه شم نشان داد. القای مکرر SD به صورت چهار مرتبه در فاصله زمانی ۳۰ دقیقه در Mosh‌های بالغ، با اینکه بر روی انتقال سیناپسی تحریکی بی‌تأثیر بود اما مهار سیناپسی قشر را کاهش داد (۱۴).

منابع

1. Dodick DW, Gargus JJ. Why migraines strike. *Sci Am*. 2008; 299(2): 56-63.
2. Sadeghian H, Jafarian M, Karimzadeh F, Kafami L, Kazemi H, Coulon P, et al. Neuronal death by repetitive cortical spreading depression in juvenile rat brain. *Exp Neurol*. 2012; 233(1): 438-46.
3. Gorji A. Spreading depression: a review of the clinical relevance. *Brain Res Rev*. 2001; 38(1): 33-60.
4. Lotfinia AA, Lotfinia M, Ahmadi M, Khodaie B, Jafarian M. Assessment of AMPA receptor antagonist administration on spatial memory of juvenile rats induced repetitive spreading depression. *Shefaye Khatam*. 2014; 2(1): 56-62.
5. Lotfinia AA, Khodaie B, Lotfinia M, Ahmadi M, Jafarian M. Roles of excitatory and inhibitory receptors in spreading depression. *Shefaye Khatam*. 2013; 1(3): 38-48.
6. Dreier JP. The role of spreading depression, spreading depolarization and spreading ischemia in neurological disease. *Nat Med*. 2011; 17(4): 439-47.
7. Khodaie B, Lotfinia AA, Lotfinia M. The effect of spreading depression on memory consolidation in juvenile Wistar rats. *Shefaye Khatam*. 2013; 1(3): 27-32.
8. Somjen GG. Mechanisms of spreading depression and hypoxic spreading depression-like depolarization. *Physiol Rev*. 2001; 81(3): 1065-96.
9. Hansen AJ, Zeuthen T. Extracellular ion concentrations during spreading depression and ischemia in the rat brain cortex. *Acta Physiol Scand*. 1981; 113(4): 437-45.
10. Strong AJ. Dr. Bernice Grafstein's paper on the

²⁵ Cortical

²⁶ Sub cortical

²⁷ Hypoxic

²⁸ SD-like events

- mechanism of spreading depression. *J Neurophysiol.* 2005; 94(1): 5-7.
11. Kraio R, Nicholson C. Extracellular ionic variations during spreading depression. *Neuroscience.* 1978; 3(11): 1045-59.
12. Gardner-Medwin A. Possible roles of vertebrate neuroglia in potassium dynamics, spreading depression and migraine. *J Exp Biol.* 1981; 95(1): 111-27.
13. Magistretti PJ, Pellerin L. Astrocytes couple synaptic activity to glucose utilization in the brain. *News Physiol Sci.* 1999; 14(5): 177-82.
14. Krüger H, Luhmann HJ, Heinemann U. Repetitive spreading depression causes selective suppression of GABAergic function. *Neuroreport.* 1996; 7(15-17): 2733-6.
15. Costa-Cruz RR, Amâncio-dos-Santos A, Guedes RC. Characterization of cortical spreading depression in adult well-nourished and malnourished rats submitted to the association of pilocarpine-induced epilepsy plus streptozotocin-induced hyperglycemia. *Neurosci Lett.* 2006; 401(3): 271-5.
16. Ahmadi M, Banazadeh Dardashti M, Modarres Mousavi M, Karimzadeh F. Long-term potentiation enhanced in juvenile rat by repetitive cortical spreading depression. *Shefaye Khatam.* 2013; 1(3) : 33-7.
17. Khodaie B, Lotfinia AA, Ahmadi M, Lotfinia M, Jafarian M, Karimzadeh F, et al. Structural and functional effects of social isolation on the hippocampus of rats with traumatic brain injury. *Behav Brain Res.* 2015; 278: 55-65.
18. Nedergaard M, Hansen AJ. Spreading depression is not associated with neuronal injury in the normal brain. *Brain Res.* 1988; 449(1): 395-8.
19. Khodaie B, Moayer F. Role of dexamethasone on repetitive spreading depression in juvenile Wistar rat. *Shefaye Khatam.* 2013; 1(2): 27-34.
20. Khodaie B, Lotfinia AA, Lotfinia M, Ahmadi M, Jafarian M. The effect of MK-801 on memory after induction of repetitive spreading depression in the juvenile rat. *Shefaye Khatam.* 2013; 1(4): 22-8.
21. Lotfinia M, Lotfinia AA, Khodaie B, Ahmadi M, Jafarian M. Effect of nifedipine on memory impairment induced by repetitive spreading depression. *Shefaye Khatam.* 2014; 2(1): 17-23.
22. Foster AC, Kemp JA. Glutamate-and GABA-based CNS therapeutics. *Curr Opin Pharmacol.* 2006; 6(1): 7-17.
23. Dutar P, Nicoll R. A physiological role for GABAB receptors in the central nervous system. *Nature.* 1988; 332(6160): 156-8.
24. Chagnac-Amitai Y, Connors B. Horizontal spread of synchronized activity in neocortex and its control by GABA-mediated inhibition. *J Neurophysiol.* 1989; 61(4): 747-58.
25. Ruscak M. Changes in the level of gamma-aminobutyric acid (GABA) in the ischaemic brain of rats following application of some stimuli evoking spreading EEG depression. *Physiol Bohemoslov.* 1961; 11: 192-8.
26. Holland P, Akerman S, Goadsby P. Cortical spreading depression-associated cerebral blood flow changes induced by mechanical stimulation are modulated by AMPA and GABA receptors. *Cephalgia.* 2010; 30(5): 519-27.